

東洋大学 工学部 正員 福井 吉孝  
 " " 有賀 稔  
 " " 清水 和宏

はじめに

以前より、我々は遊水部を有する用木路(Fig. 1)の流れの挙動を実験によることにござります。その結果、領域I, II周辺の流れ(及び、浮遊掃流物質)の交換機構はどの三次元的複雑さの為に、解説的に解明する事の困難を抱いた。とりわけ遊水部後端縁、壁(B-C)の存在がA点よりはく離してしまった流れの挙動に、更に、複雑な因子を附加してある事が判つた。つまり、領域I, II周辺の流れの交換の場所的・時間的変動を更に助长したことにより、後端縁、壁が下流に移動させる事によって、後端縁の影響をいくうかで減少させる事ができ、IとIIの領域間の流れの交換機構の把握が容易になるものではと考え

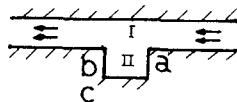


Fig. 1

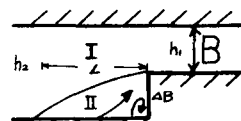


Fig. 2 急拡水路

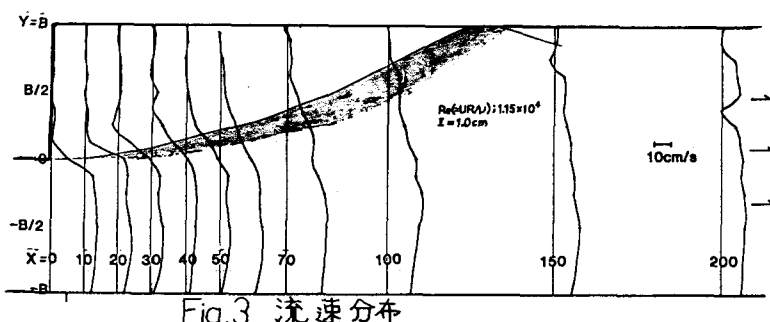


Fig. 3 流速分布

領域I, II周辺の流れの交換の場所的・時間的変動を更に助长したことにより、後端縁、壁が下流に移動させる事によって、後端縁の影響をいくうかで減少させる事ができ、IとIIの領域間の流れの交換機構の把握が容易になるものではと考えた。後端縁、壁を下流側に下げた極限の状態である急拡の場合の両域間の混合交換をみる事により研究区間に進めるべく実験を行つた。

## 1. 流況

急拡部へ流入した流れは、急激に側方に拡がる射流が、徐々に奥行き合ひながら下流へと流れると常流を呈する。常流の場合、噴流理論を使つての解析が行なわれてゐる。即ち、Fig. 2 に於ける

$$G(\theta') = d_1 e^{\eta' \theta'} + d_2 e^{\eta' \theta'} \cos \frac{\sqrt{3}}{2} \theta' + d_3 e^{\eta' \theta'} \sin \frac{\sqrt{3}}{2} \theta' \quad \text{但し, } \theta' = \theta - \eta'$$

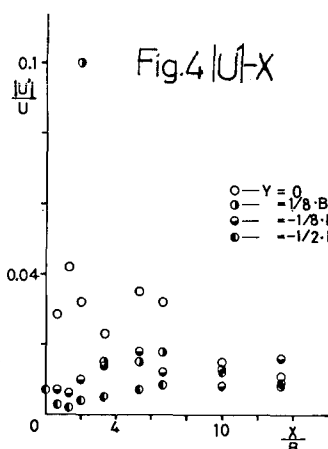


Fig. 4 |U|/X

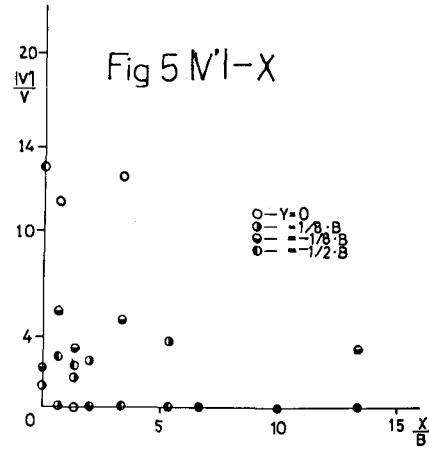


Fig. 5 |V|/X

によつて適當な境界条件をとる、拡散係数を仮定するこゝによつて、主流の様がりにつりこゝは知る事ができる。が、この種の水路形態に特有な逆流現象の表現は必ずしも充分でない。二領域間の混合・交換の理解の爲にも、この逆流域の正確な評価が要される。

逆流の主原因は、主流と逆流域間のレイノルズ応力、 $\overline{Z} = -g \bar{U} \bar{v}$ 、つまり、干擾力と思われる。

流速、及びその変動成分  $U'$ ,  $v'$  について、実験結果をみながら以下に述べて行く。実験は  $B=15\text{cm}$  の水路で行なつた。Fig. 1 に表わしたケースは  $Q=4.0\text{ l/s}$  の場合である。

## 2 実験

- Fig. 3 は、流速分布の一例であるが、側面への曲りは、上層に比較して、下層の方が大きい。(黒く塗りた領域が、上層の分離線である。)
- 逆流域の壁面に沿つてこの逆流流速は主流の中心線上 ( $y=-\frac{B}{2}$ ) の流速に対する  $10\%$  位である。
- 逆流域内では  $x$ ,  $y$  方向とも乱れが大きい。不規則な巻き上りがある。
- 従つて主流と逆流域との間の水の出入りは、平面的にも水深方向にも一樣である。
- Fig. 4, 5 は  $U'$ ,  $v'$  の底下方向の変化を、境界面附近でみたものである。二領域間の混合の幾何的強度を表わしている。 $U'$  も  $v'$  も、境界面附近では方が大きい。即ち、混合がより起きてくる事を示している。 $\frac{U'}{U}$  の方が  $\frac{v'}{v}$  より大きくなるのが、多くのものがわかる。実際、混合に寄与するのは  $v'$  の変動分であろう。
- Fig. 6-1, 2, 3 は分離線のアタシテメント近くでの流速のスペクトルである。逆流域に複数の周波数成分が現われているのが判る。 $\gamma = \omega / c$  の渦の運動が活発である事がうかがえる。

## 3.まとめ

結局、流況をみても、 $x$ ,  $y$ ,  $z$  方向に規則的でない動きを示し、逆流域と生ずる様、この種の流れと忠実に表現するのは容易でない。ごろから、解析モデルも着目度を絞る必要があり、例えは  $I$ ,  $J$  を分離して、どの角の離さず交換係数の様るものと適当に選ぶ事にあるであろう。今、詳細まで踏み込まず、簡単に得られる平均量から、この領域に於ける運動を評価しようとするなら、 $\Delta B$  の部分に働く圧力  $P$  のエネルギー損失と、境界面上の干渉力との釣り合ひを考える事が簡潔である。 $P_{AB} = \rho g \Delta B \frac{h^2}{2}$  とし、 $\int_0^h P dx dz = P$  とおき、 $C = \rho \ell^2 \left( \frac{\partial U}{\partial y} \right)^2 = \rho h^2 \left( \frac{\partial v}{\partial x} \right)^2$  を使ひ、 $\frac{\partial U}{\partial y} \approx \frac{C}{\ell}$  とすると、 $L = \ell \Delta B$  とおく事にする。则し  $h = \rho g \Delta B \frac{h^2}{2}$ 、  
 $C = \rho g \frac{\Delta B}{L} \cdot \frac{h^2}{2} \frac{1}{h} = 0.063 \rho \frac{h^2}{L} \frac{h}{h}$  となる事になる。

更に、この現象に最適なモデルの設定と、併せて式の構造を簡潔化する事の評価と進めて行くつもりである。

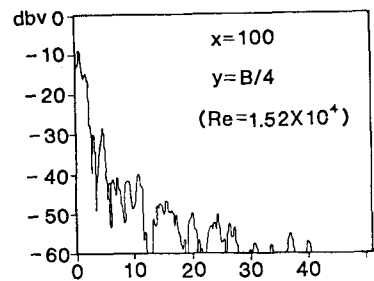


Fig. 6-1 流速のスペクトル Hz

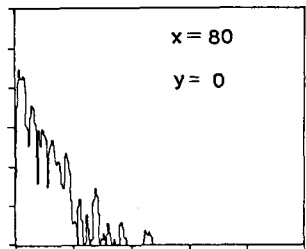


Fig. 6-2

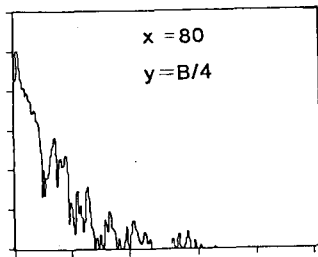


Fig. 6-3